

## き裂伝播の一数値解法

京都大学大学院 学生員 ○吉田幸司  
京都大学工学部 正員 小林昭一

## 1. はじめに

最近、積分方程式による解法が注目を浴びるようになり、種々の問題にその適用が試されている。積分方程式解法は境界条件を満足するうえ、場の方程式を境界上で積分するだけであるので、き裂伝播のように境界が移動するような問題でも、成長したき裂の部分の境界を逐次付け加えるだけの手間で追跡しながら解析していくことが出来ると考えられる。

本研究は、このような積分方程式の特性に注目して種々な応力場における初期クラックから発生する乙次き裂の伝播を、積分方程式解法により解析したものである。

## 2. 積分方程式

弹性問題における外部オービト境界値問題の積分方程式は、1重層ポテンシャルを導入することにより次のようく定式化される。

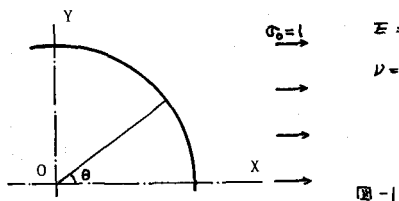
$$U_0(x) = \int_s \Gamma_{11}^{(0)}(x; y) \varphi_{00}(y) dy \quad x \in D, y \in S \quad (1), \quad \left\{ \frac{\partial}{\partial y} U_j(x) \right\}_0 = t_j(x) \quad x, y \in S \quad (2)$$

$$t_{1j}(x) = -\frac{1}{2} \Gamma_{22}^{(0)}(x; y) \varphi_{00}(y) dy \quad x, y \in S \quad (3)$$

$$\frac{\partial}{\partial y} = \mu \delta_{ij} \frac{\partial^2}{\partial x_i^2} + \mu \eta_j \frac{\partial}{\partial x_i} + \lambda \eta_i \frac{\partial^2}{\partial x_j^2} \quad (4)$$

ここで、 $U_0(x)$ は $x$ における変位、 $t_{1j}(x)$ は境界上の表面力、 $\varphi_{00}(y)$ は1重層ポテンシャル、そして $\Gamma_{11}^{(0)}(x; y)$ は基本特異解を示し、 $\Gamma_{22}^{(0)}(x; y)$ は $\frac{\partial}{\partial y} \Gamma_{11}^{(0)}(x; y)$ である。

今回使用したプログラムは、境界を円弧で近似し、また密度の分布は乙次関数で近似し、さらに1四隅内に40点をとるガウス積分を行なっている。このプログラムで無限板に円孔が存在するという簡単な問題へ適用して結果を示すと表-1、表-2のようになる。ただし、平面ひずみ状態における応力及び変位である。これから、このプログラムは相当精度があることがわかる。



## 3. き裂伝播への適用

き裂の発生機構や進行方向について、種々の理論が提唱されていて、本数値解法ではそれらについて、次の二つの仮定を設けた。

- き裂は引張応力をもって発生するものとし、その引張応力の大きさがある基準

$\theta$	$N = 18$	$N = 36$	Analytical
$0^\circ$	-0.912	-1.000	-1.000
$30^\circ$	0.024	0.003	0.000
$45^\circ$		1.073	1.000
$60^\circ$	2.135	1.994	2.000
$90^\circ$	2.994	2.993	3.000

表-1

$\theta$	$N = 18$	$N = 36$	Analytical
$0^\circ$ (x)	2.875	2.879	2.880
$0^\circ$ (y)	0.000	0.000	0.000
$30^\circ$ (x)	2.496	2.492	2.494
$30^\circ$ (y)	-0.479	-0.478	-0.480
$45^\circ$ (x)		2.033	2.036
$45^\circ$ (y)		-0.678	-0.679
$60^\circ$ (x)	1.437	1.438	1.440
$60^\circ$ (y)	-0.833	-0.830	-0.831
$90^\circ$ (x)	0.000	0.000	0.000
$90^\circ$ (y)	-0.962	-0.960	-0.960

表-2

値 $\alpha$ を越えたときに発生するものとする。

ii) き裂の進行方向は引張り応力方向と直角とする。

このような仮定に基づき、き裂伝播の追跡を行なうために次のような手段をとった。き裂先端周辺に数個の点(以後検索点と呼ぶ)における引張り応力を求め、その中で最大引張り応力を示す点の値が基準値 $\alpha$ を越えたとき、その検索点の方向へある長さ $\delta$ だけき裂が進行するとした。これをフローチャートに示すと図-1となる。

き裂のようないくつか問題を積分方程式で解く場合、問題となるのはその先端の形状の処理方法である。き裂先端の曲率半径 $\rho$ として場合、実際には $\rho \neq 0$ であるうが、 $\rho = 0$ とすると積分方程式解法では解を得ることが困難であるので、ある曲率半径 $\rho$ をもたせざるを得ない。

今回のシミュレーションにおいては、き裂の形状を次のように決めた。き裂の先端近くではタブレットとし、その先端に半径 $\rho$ の円を付加することにより先端を処理した。き裂が進行する場合には円を除いてタブレットを継ぎてし、その先端に円を付加するものとした。(図-3)

この方法で問題となるのは1回の操作で進める大きさ $\delta$ と、き裂の先端に加える円の半径 $\rho$ 、さらに基準値 $\alpha$ というものをどのようにして決定するかといふことである。

#### 4. シミュレーション・モデル

シミュレーションに使用したモデルの一例として、一様引張り応力場に円孔が存在し、それよりき裂が伝播する場合をあげてみる。この場面には、初期に応力集中が起ころる点があるが、ていうので、A点近くの分割を細かくした。(図-4)また、き裂が発生するのもA点からといふことがわかる、ていうので検索点もその周囲に配置した。

この場合の例では、試験的に円孔の半径を $\alpha$ とすると $\alpha = a/10$ ,  $\rho = a/100$ , 検索点とき裂先端の境界との距離を $a/1000$ とした。結果を図-5に示すが、今回は5-stepで計算を止めた。

き裂の進行方向が逐次変化する場合の計算結果について、当日学会で発表する。

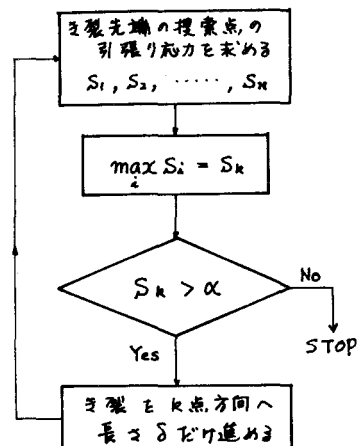


図-2 フローチャート

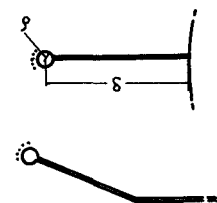


図-3

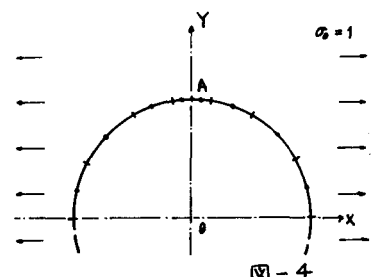


図-4

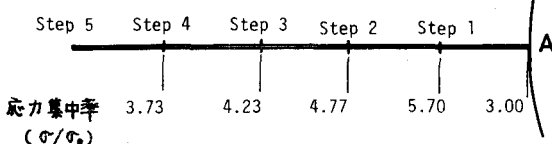


図-5